

Figura I: Variação do coeficiente de resistência aerodinâmica, do perfil FX63137, em função da velocidade e do ângulo de incidência.

Tabela I: Coeficiente de resistência aerodinâmica do perfil FX63137.

C_d	Velocidade [m/s]			
α [°]	5	8	11	14
0	0,019213	0,015216	0,015131	0,015211
3	0,022996	0,018652	0,018431	0,018543
6	0,029662	0,025299	0,023609	0,024013
9	0,040803	0,035908	0,032307	0,032359
11	0,052726	0,047276	0,041174	0,040731
13	0,071532	0,063246	0,057548	0,054576
15	0,105047	0,091657	0,088049	0,080781

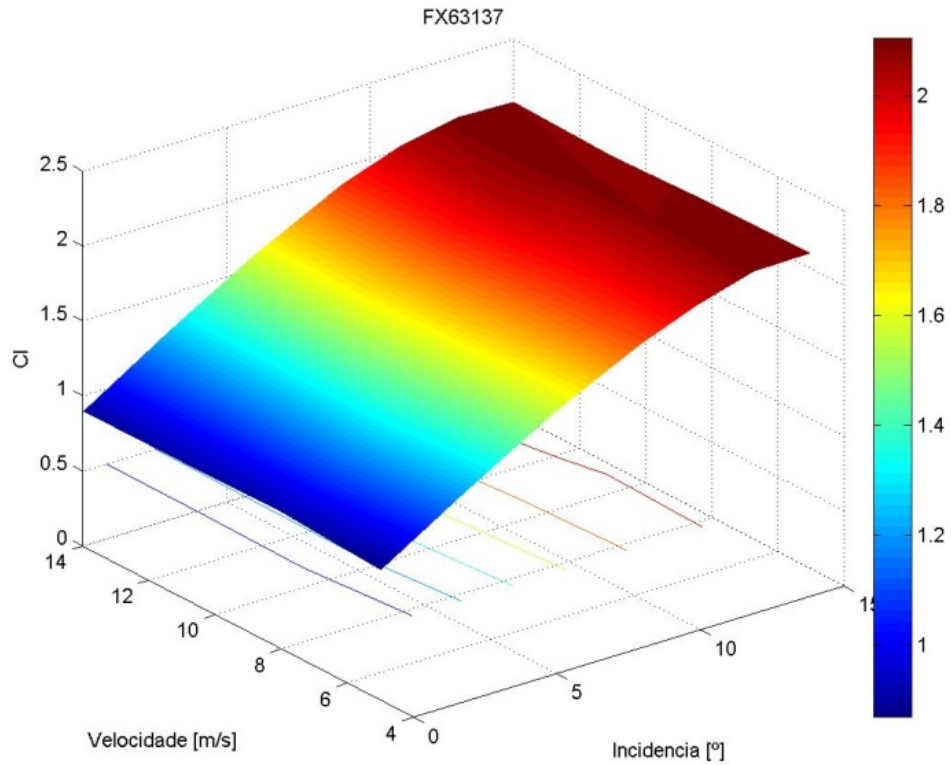


Figura II: Variação do coeficiente de sustentação, do perfil FX63137, em função da velocidade e do ângulo de incidência.

Tabela II: Coeficiente sustentação do perfil FX 63137.

C_l	Velocidade [m/s]			
α [°]	5	8	11	14
0	0,870594	0,911393	0,903711	0,901008
3	1,224802	1,264098	1,261544	1,257542
6	1,559363	1,589378	1,607595	1,597108
9	1,840761	1,855434	1,891493	1,879488
11	1,98876	1,983143	2,028585	2,017377
13	2,094757	2,084947	2,097362	2,099406
15	2,103251	2,095911	2,064923	2,084345

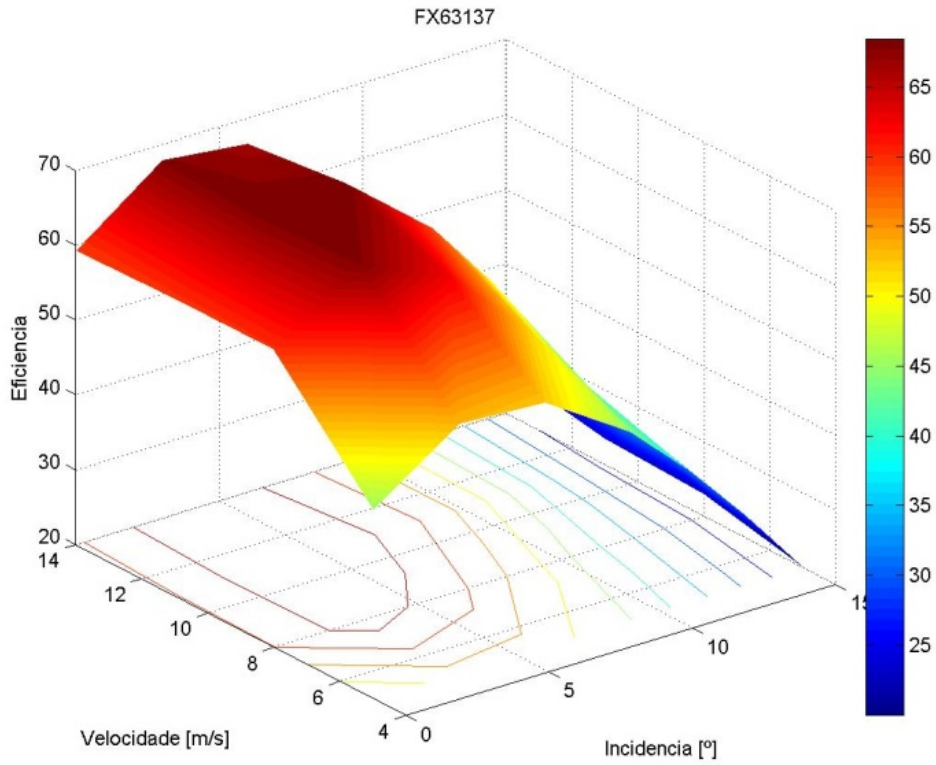


Figura III: Variação da eficiência aerodinâmica, do perfil FX63137, em função da velocidade e do ângulo de incidência.

Tabela III: Eficiência aerodinâmica do perfil FX 63137.

C_l/C_d	Velocidade [m/s]			
α [°]	5	8	11	14
0	45,31354	59,89796	59,72484	59,23332
3	53,26156	67,77144	68,44544	67,81758
6	52,57113	62,82444	68,09217	66,51029
9	45,11372	51,67247	58,54812	58,0818
11	37,71872	41,94813	49,26829	49,52878
13	29,28424	32,96544	36,44516	38,46752
15	20,02198	22,86697	23,452	25,80231

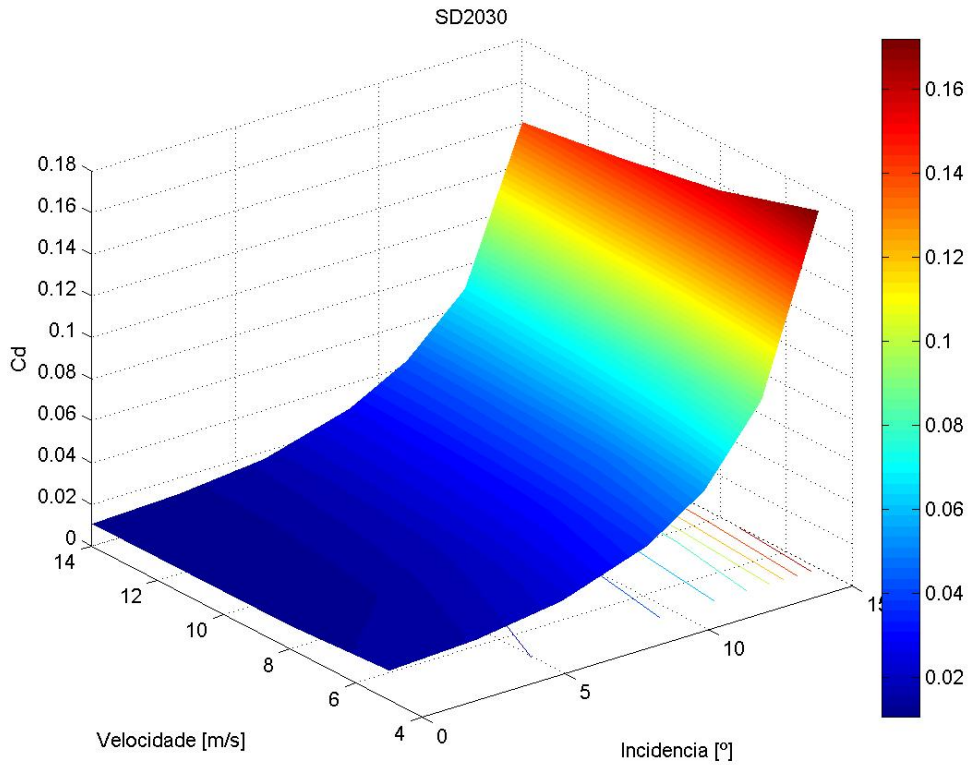


Figura IV: Variação do coeficiente de resistência aerodinâmica, do perfil SD2030, em função da velocidade e ângulo de incidência.

Tabela IV: Coeficiente de resistência aerodinâmica do perfil SD2030.

C_d	Velocidade [m/s]			
α [°]	5	8	11	14
0	0.014248	0.011329	0.010638	0.010703
3	0.015965	0.0131	0.012083	0.011886
6	0.022109	0.018796	0.017175	0.016404
9	0.03615	0.031476	0.029516	0.028129
11	0.054218	0.047163	0.044402	0.042509
13	0.089289	0.078256	0.072392	0.068842
15	0.172096	0.156709	0.147782	0.140394

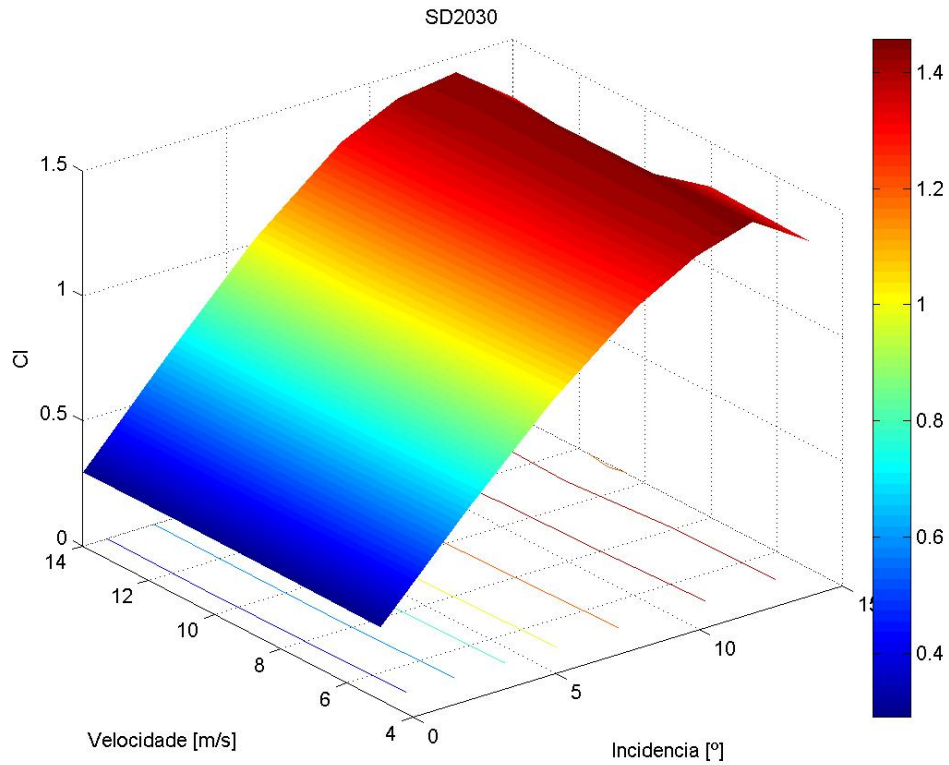


Figura V: Variação do coeficiente de sustentação, do perfil SD2030, em função da velocidade e ângulo de incidência.

Tabela V: Coeficiente de sustentação do perfil SD2030.

C_l	Velocidade [m/s]			
α [°]	5	8	11	14
0	0.290487	0.295855	0.298116	0.296059
3	0.650662	0.663005	0.668858	0.6678
6	0.987611	1.000196	1.015005	1.018387
9	1.263618	1.276114	1.29025	1.297432
11	1.388819	1.396918	1.399742	1.406137
13	1.458125	1.445461	1.443292	1.439775
15	1.311214	1.322691	1.180671	1.270497

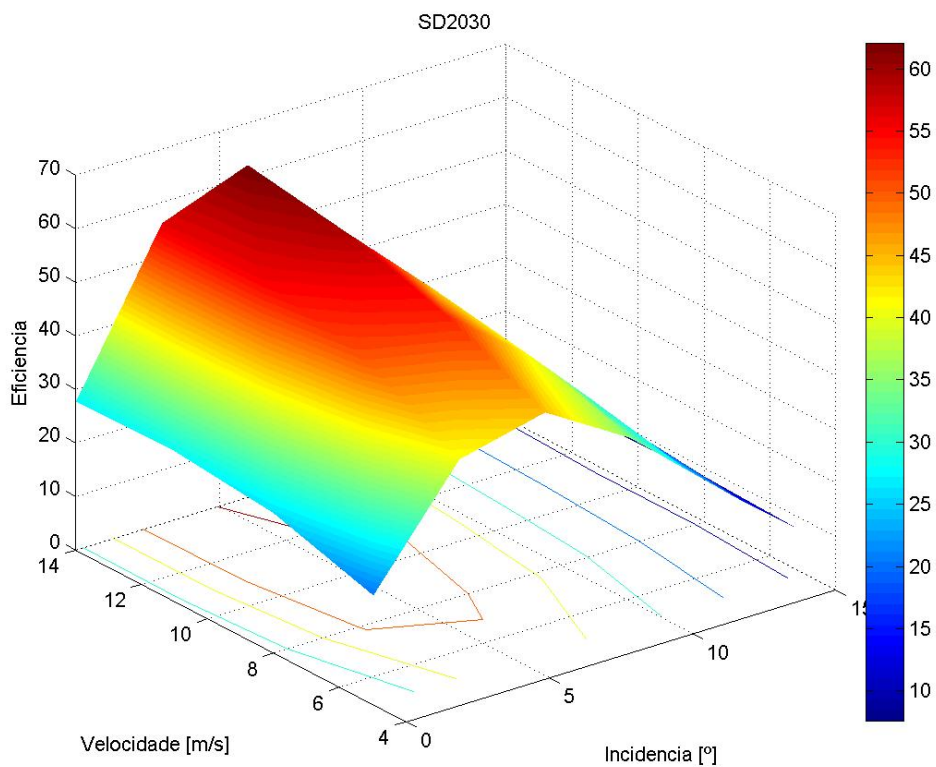


Figura VI: Variação da eficiência aerodinâmica, do perfil SD2030, em função da velocidade e ângulo de incidência.

Tabela VI: Eficiência aerodinâmica do perfil SD2030.

C_l/C_d	Velocidade [m/s]			
α [°]	5	8	11	14
0	20.38759	26.11415	28.0246	27.66243
3	40.7567	50.61243	55.35726	56.18382
6	44.66943	53.21382	59.0984	62.08176
9	34.95485	40.54232	43.71368	46.12373
11	25.61562	29.61901	31.52424	33.0783
13	16.33033	18.471	19.93708	20.91424
15	7.619082	8.440441	7.989298	9.049486

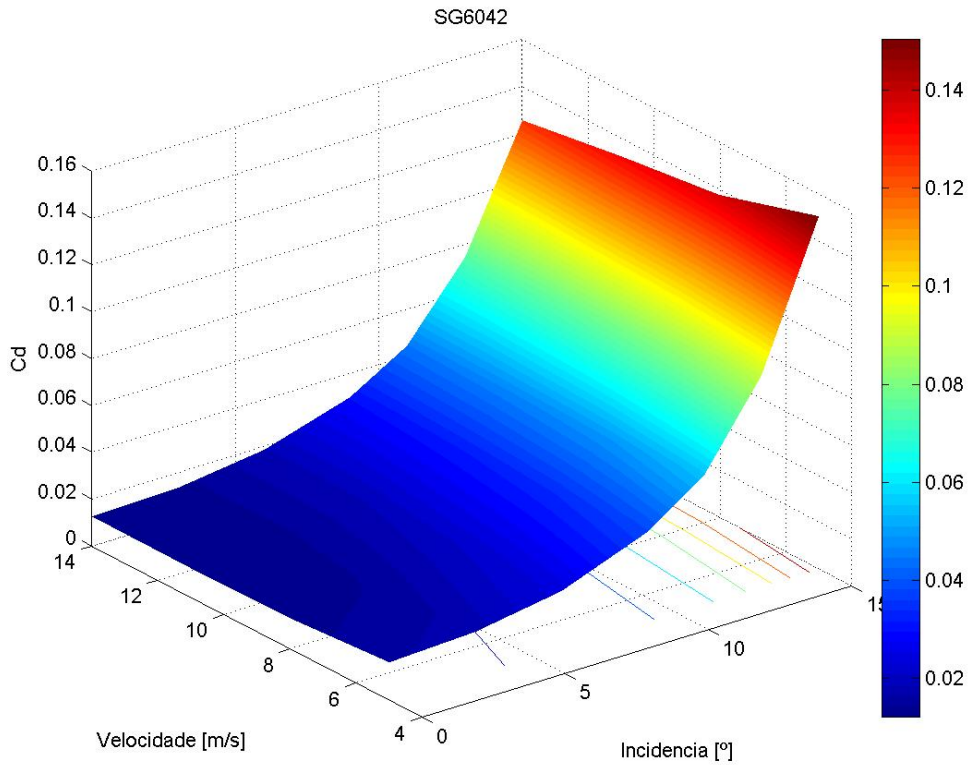


Figura VII: Variação do coeficiente de resistência aerodinâmica, do perfil SG6042, em função da velocidade e ângulo de incidência.

Tabela VII: Coeficiente de resistência aerodinâmica do perfil SG6042.

C_d	Velocidade [m/s]			
	5	8	11	14
α [°]				
0	0.016215	0.01314	0.012283	0.012398
3	0.017853	0.014682	0.013503	0.013636
6	0.024058	0.021057	0.018684	0.018417
9	0.037852	0.033519	0.031236	0.029765
11	0.054879	0.048377	0.046102	0.044418
13	0.090108	0.081215	0.076933	0.074536
15	0.150394	0.137377	0.132067	0.125574

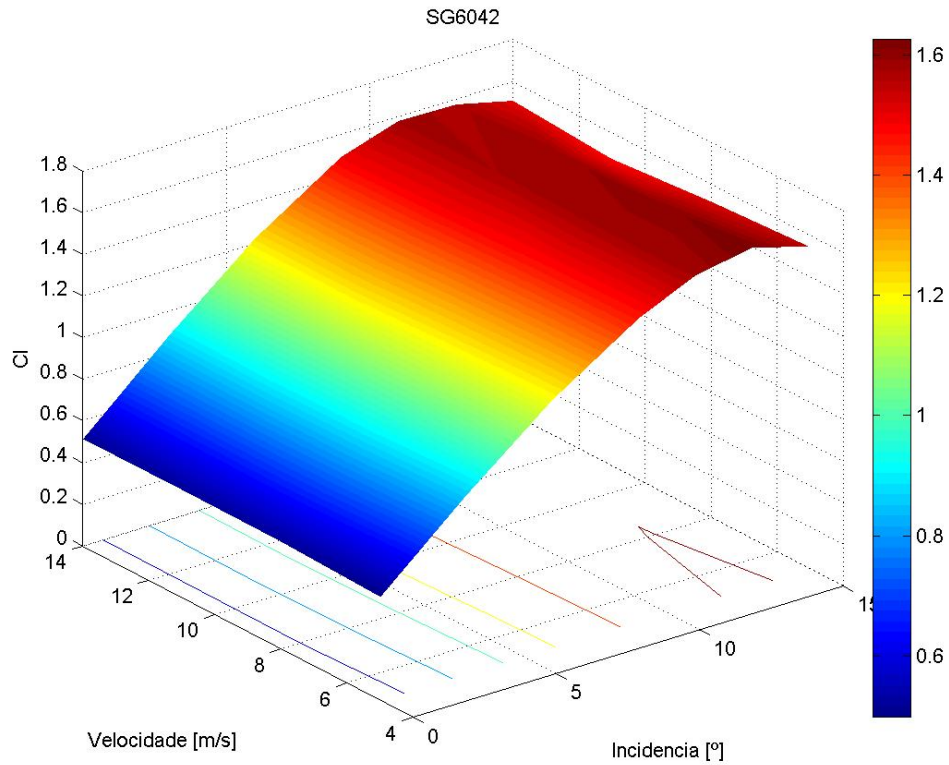


Figura VIII: Variação do coeficiente de sustentação, do perfil SG6042, em função da velocidade e ângulo de incidência.

Tabela VIII: Coeficiente de sustentação do perfil SG6042.

C_l	Velocidade [m/s]			
α [°]	5	8	11	14
0	0.498564	0.517483	0.516459	0.513324
3	0.858057	0.879018	0.887089	0.882611
6	1.189187	1.204749	1.227048	1.225513
9	1.454606	1.463579	1.479245	1.488559
11	1.578361	1.580449	1.574414	1.577137
13	1.62744	1.602374	1.587119	1.572475
15	1.547875	1.516277	1.471945	1.505775

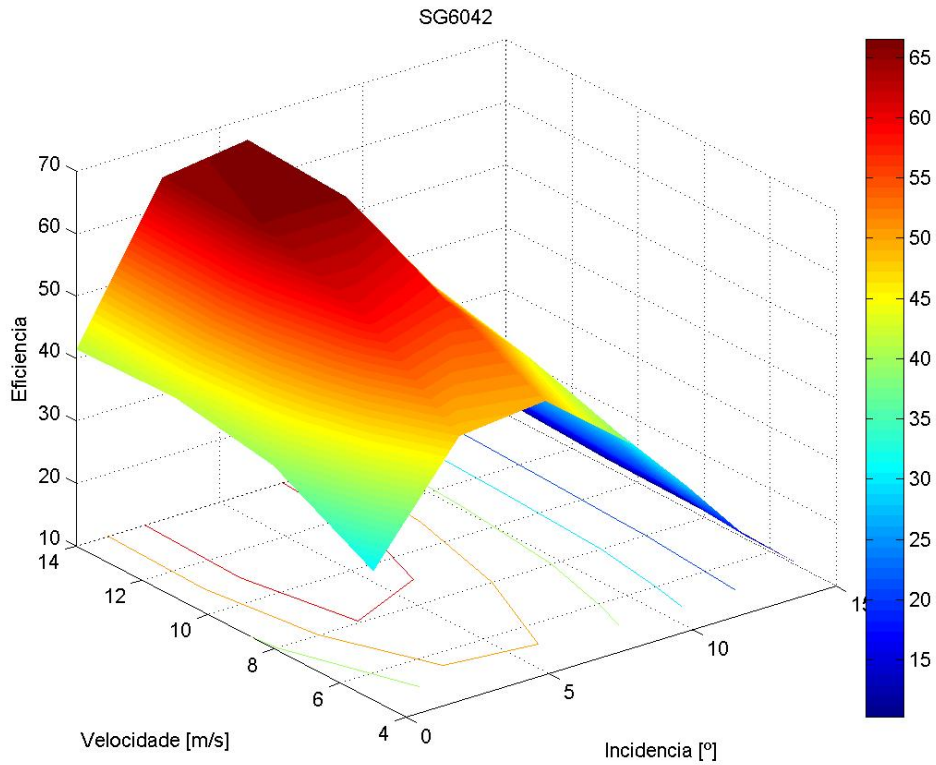


Figura IX: Variação da eficiência aerodinâmica, do perfil SG6042, em função da velocidade e ângulo de incidência.

Tabela IX: Parametrização da eficiência aerodinâmica do perfil SG6042.

C_l/C_d	Velocidade [m/s]			
α [°]	5	8	11	14
0	30.7465	39.38145	42.04737	41.40405
3	48.06127	59.87163	65.6944	64.72619
6	49.42936	57.21507	65.67451	66.5417
9	38.42897	43.6646	47.35705	50.01063
11	28.7608	32.66955	34.15053	35.50696
13	18.06101	19.73002	20.63002	21.09689
15	10.29211	11.03731	11.14543	11.99113